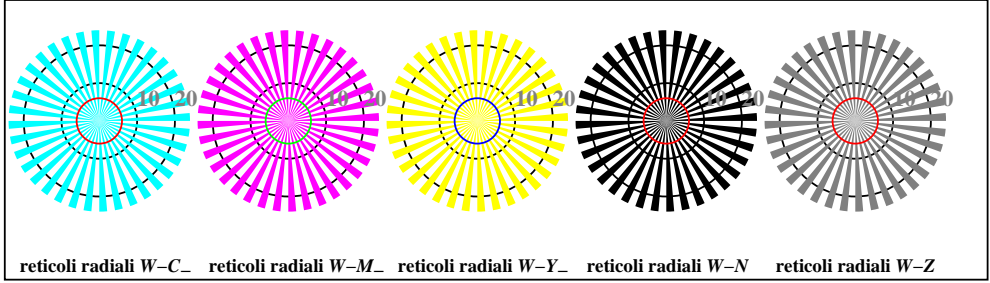




TI920-3, Fig. B1W-: motivo floreale, 14 prova colori CIE i 2 + 16 grigio passi (nf); PS 3 colorimage



reticolli radiali W-C_ reticolli radiali W-M_ reticolli radiali W-Y_ reticolli radiali W-N reticolli radiali W-Z

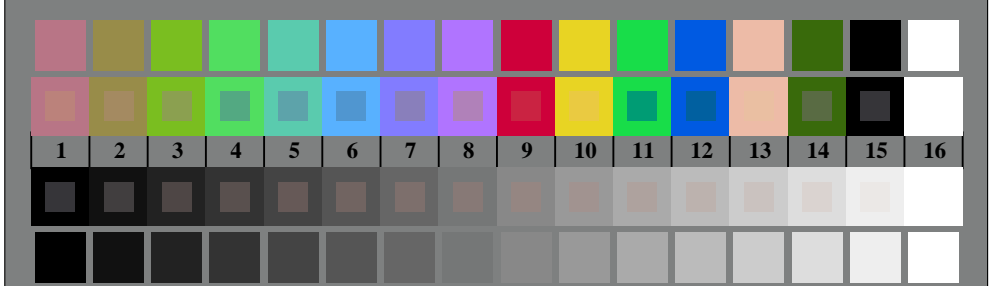
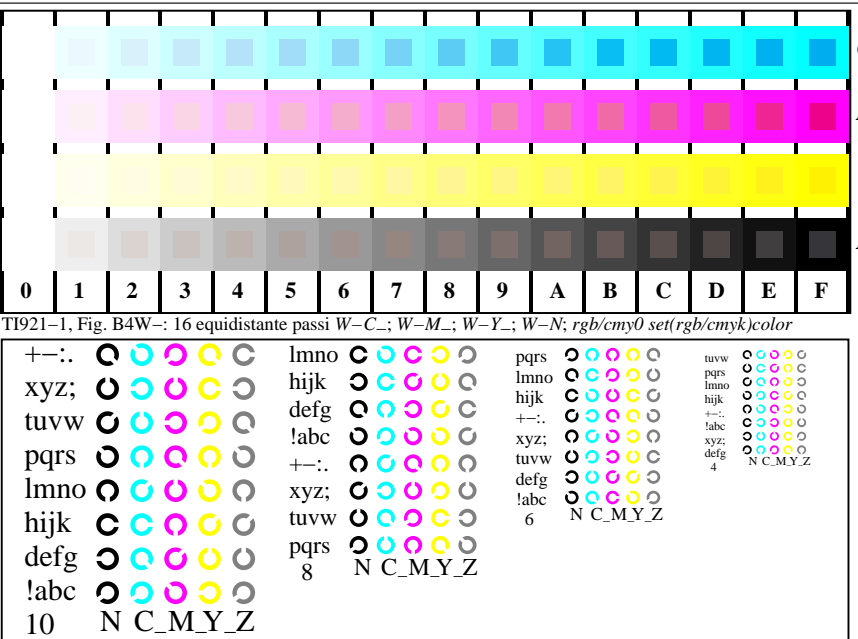
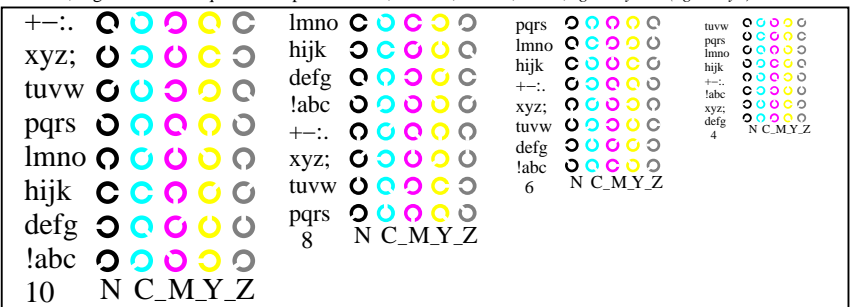
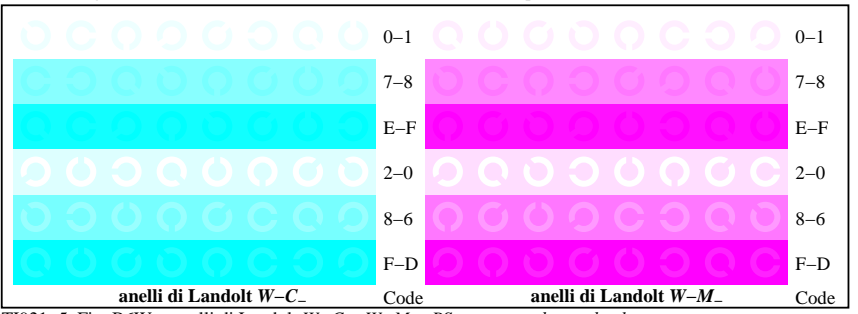
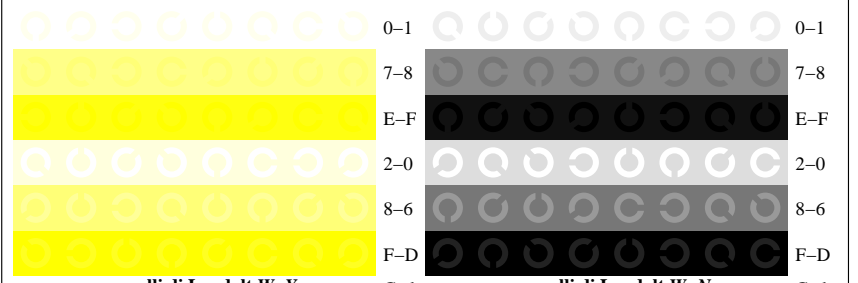
TI920-5, Fig. B2W-: reticolli radiali W-C_; W-M_; W-Y_; W-N; PS operator $rgb \rightarrow rgb_setrgbcolor$ TI920-7, Fig. B3W-: 14 prova colori CIE i 2 + 16 grigio passi (sf); $rgb/cmky0$ set($rgb/cmkyk$).color

Grafico TUB-TI92; 2(ISO/IEC 15775 & ISO/IEC TR 24705)
 Tavola dei colori cromatici CMYK

TI921-1, Fig. B4W-: 16 equidistante passi W-C_-; W-M_-; W-Y_-; W-N; $rgb/cmky0$ set($rgb/cmkyk$).colorTI921-3, Fig. B5W-: codice i Landolt anelli N; C_-; M_-; Y_-; Z; PS operator $rgb \rightarrow rgb_setrgbcolor$ TI921-5, Fig. B6W-: anelli di Landolt W-C_-; W-M_-; PS operator $rgb setrgbcolor$ TI921-7, Fig. B7W-: anelli di Landolt W-Y_-; W-N; PS operator $rgb setrgbcolor$

Input: $rgb/cmky$ \rightarrow $w/rgb/cmky$
 Output: nessun cambiamento